

بررسی کمی حساسیت کنتراست در بهبود حدت بینایی و کاهش ابیراهی‌های اپتیک

سهیل نبوی^۱, علیرضا مهری دهنوی^۲, علیرضا ورد^۳, سهیل محمدپور^۴

مقاله پژوهشی

چکیده

مقدمه: چشم انسان برای تشخیص اجسام، از نور تابشی ناشی از لبه استفاده می‌کند. ابیراهی‌های اپتیک، عامل اصلی تخریب کیفیت تصویر در چشم می‌باشد. در افرادی که دچار این عارضه هستند، تصویر درک شده دارای سطح پایین کنتراست است و لبه‌های تصویر از بین می‌رود. از آن جایی که روش‌های درمان ابیراهی‌های اپتیک به سهولت در دسترس نمی‌باشند، روش‌های مکمل مانند پیش خنثی‌سازی تصاویر مطرح شده است. این تحقیق، با هدف بررسی کمی تأثیر اختلاف شدت روش‌نمایی جسم و زمینه برای کاهش میزان ابیراهی‌های اپتیک مرتبه‌ی پایین انجام شد. همچنین، حدت بینایی در چارت‌های مختلف با کنتراست Weber برابر بررسی گردید.

روش‌ها: در این تحقیق، ۱۲ چارت اپتیک با سطوح مختلف کنتراست و بر اساس استاندارد لگاریتم کمینه‌ی زاویه‌ی واضح (Minimum angle of resolution) با (MAR) طراحی شد. چارت‌ها بر روی ۲۰ بیمار با ابیراهی‌های اپتیک مرتبه‌ی پایین آزمون و نتایج به دست آمده با استفاده از نرم‌افزار SPSS تحلیل گردید.

یافته‌ها: اختلاف معنی‌داری در میزان حدت بینایی افراد در سطوح مختلف کنتراست وجود داشت و تنها در حالتی که درصد کنتراست Weber پایین بود، این اختلاف معنی‌دار نبود.

نتیجه‌گیری: داشتن سطح روش‌نمایی پایین‌تر در تصویر زمینه، باعث بهبود حدت بینایی به مقدار تقریبی ۱۱ درصد در مقیاس Log MAR می‌گردد. بنابراین، جهت بهبود بینایی در صفحات نمایش بهتر است موضوع نمایش روش و زمینه تاریک باشد.

وازگان کلیدی: پیش خنثی‌سازی، حدت بینایی، ابیراهی‌های اپتیک، حساسیت کنتراست

ارجاع: نبوی سهیل، مهری دهنوی علیرضا، ورد علیرضا، محمدپور سهیل. بررسی کمی حساسیت کنتراست در بهبود حدت بینایی و کاهش ابیراهی‌های اپتیک. مجله دانشکده پزشکی اصفهان ۱۳۹۵: ۳۴ (۳۹۱): ۸۲۲-۸۱۶.

امروزه، مطالعات در زمینه‌ی توسعه‌ی تکنیک‌های ارتقای کیفیت تصاویر برای کمک به افراد با اختلالات بینایی صورت می‌پذیرد و با توجه به فرآگیر شدن نمایشگرهای دیجیتال و امکان نمایش پردازش شده تصاویر، می‌توان باعث بهبود حدت بینایی در افراد دارای ابیراهی‌های اپتیک مرتبه‌ی پایین گردید. در سال ۲۰۰۶، پژوهشگران با استفاده از روش توسعه دادن و تغییر دادن نسبت سایه‌ها (Shading exaggeration) تلاش نمودند تا کیفیت تصویر را با تنظیم جهت نور و افزایش کنتراست محلی ارتقا دهند (۱). در مطالعه‌ی Peli و Woods (۲) و نیز مطالعه‌ی Peli (۳) تلاش برای تقویت فرکانس بالای تصویر صورت گرفت، اما با توجه به

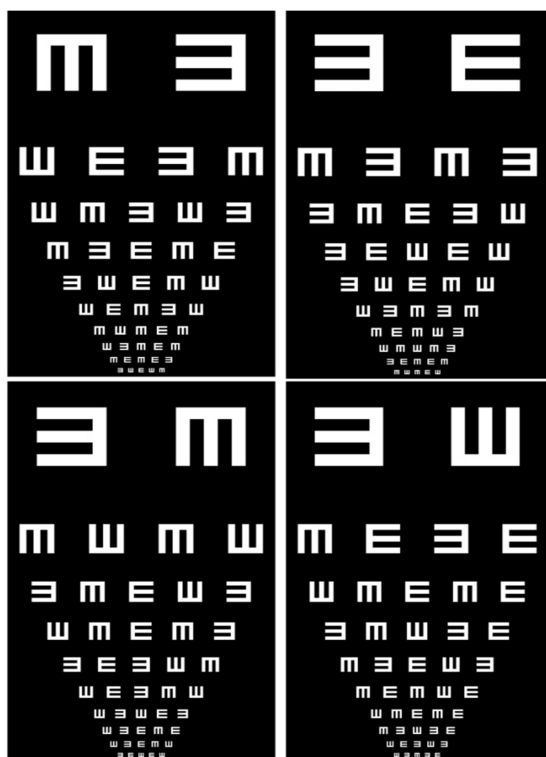
مقدمه

چشم انسان مانند هر سیستم اپتیک دیگر، از انحرافات نوری خاصی رنج می‌برد. کیفیت اپتیک چشم، به انحرافات نوری، پراش و پراکندگی محدود می‌شود (۱). به هرگونه انحراف در مسیر پرتوهای نور نسبت به حالت ایده‌آل در یک سیستم اپتیک، ابیراهی می‌گویند. ابیراهی‌های اپتیک، عامل اصلی تخریب کیفیت تصویر در چشم هستند و به دو دسته‌ی ابیراهی‌های اپتیک مرتبه‌ی پایین و ابیراهی‌های اپتیک مرتبه‌ی بالا تقسیم می‌شوند. ابیراهی‌های اپتیک مرتبه‌ی پایین نظری آستیگماتیسم منظم، نزدیکبینی و دوربینی، ۹۰ درصد ابیراهی‌های اپتیکی چشم را شامل می‌شوند (۲).

- دانشجویی کارشناسی ارشد، گروه مهندسی پزشکی، دانشکده‌ی فن‌آوری‌های نوین علوم پزشکی، دانشگاه علوم پزشکی اصفهان، اصفهان، ایران
 - استاد، گروه مهندسی پزشکی، دانشکده‌ی فن‌آوری‌های نوین علوم پزشکی و مرکز تحقیقات پردازش تصویر و سیگنال پزشکی، دانشگاه علوم پزشکی اصفهان، اصفهان، ایران
 - استادیار، گروه مهندسی پزشکی، دانشکده‌ی فن‌آوری‌های نوین علوم پزشکی و مرکز تحقیقات پردازش تصویر و سیگنال پزشکی، دانشگاه علوم پزشکی اصفهان، اصفهان، ایران
 - کارشناس ارشد، انجمن بینایی‌سنجه ایران، تهران، ایران
- نویسنده‌ی مسؤول: علیرضا مهری دهنوی

Email: mehri@med.mui.ac.ir

اپتوتاپ‌ها و فریب اپراتور توسط بیمار، کاهش می‌یافتد (شکل ۱). به منظور جلوگیری از اثر تداخل (Crowding effect)، هر اپتوتاپ از اپتوتاپ‌های مجاور، حداقل به میزان ابعاد خود فاصله دارد و این فاصله گذاری، از بالاترین ردیف چارت اعمال می‌شود.



شکل ۱. نمایش یکی از چارت‌های طراحی شده با جهت متفاوت اپتوتاپ‌ها در هر بار اجرا توسط اپراتور

چارت Log MAR برای رسیدن به یک تخمین دقیق‌تر از حدت بینایی، در مقایسه با سایر آزمون‌ها نظری چارت‌های Snellen طراحی شده است (۱۱). امروزه، برای مطالعات اپتیک به خصوص در محیط‌های پژوهشی، از چارت Log MAR استفاده می‌شود و نتایج آن به صورت لگاریتم کمینه‌ی زاویه‌ی وضوح (MAR) یا نمره در روش Log MAR به صورت زیر می‌باشد (۱۲).

$$MAR = \frac{1}{VA \text{ (Visual acuity)}}$$

$$\text{Log MAR} = 0.1 + \text{Log MAR value of the best line read} - [0.02 \times (\text{number of letters read})]$$

محدوده‌ی فرانکنسی چشم انسان و محدوده‌ی دینامیک نمایش‌گرهای دیجیتال، تنها امکان افزایش باندهای فرانکنسی محدودی امکان پذیر است. در سال ۲۰۱۱، روش‌های افزایش وضوح تصویر در فیلم‌ها و اینیمیشن‌ها با استفاده از افزایش وضوح محلی، حل مشکل نوسانات زمانی و بهبود کیفیت ارایه شد (۶-۷). پس از آن، تکنیک‌های نمایش سه بعدی مطرح گردید. در این شیوه‌ی نمایش، وضوح زاویه‌ای، یکی از عوامل محدود کننده است که باعث می‌گردد تنها عمق محدودی از میدان دید نمایش داده شود و تصاویر خارج از این محدوده، به صورت تار و ناواضح دیده شوند (۸).

نمایش چند لایه‌ای تصاویر (Multi-layer display)، در سال‌های اخیر به منظور بهبود ایبراهی‌های اپتیک ایستا نظری آستیگماتیسم و عدم فوکوس (Defocus) پیشنهاد شده است. همچنین Pamplona و همکاران، یک شیوه‌ی نمایشی که به صورت دینامیک محتوای نوری تصویر را متناسب با شرایط خاص بیمار تطبیق دهد، ارایه داد (۹)، اما این شیوه تنها قادر به نمایش ناحیه‌ی بسیار کوچکی از میدان بینایی فرد (Field of view) است.

پس از آن، Huang و همکاران نمایشی چند لایه به صورت اختصاصی و بر مبنای Deconvolution تصاویر را مطرح کردند تا بیمار تصاویر را واضح‌تر و لبه‌ها را تیزتر مشاهده نماید (۱۰)، اما در این روش، کنترast تصویر بسیار پایین می‌آید و با توجه به این که بیمار در وضعیت ثابتی نسبت به نمایشگر قرار ندارد، این روش‌ها در عمل در افزایش حدت بینایی کارآمد نمی‌باشند.

معایب اپتیک و خطاهای انکساری، باعث کاهش حساسیت کنترast (Contrast sensitivity) چشم می‌شوند. برخورداری از حساسیت کنترast بالا و تشخیص دقیق، به طور مستقیم به چگونگی فوکوس تصویر بر روی شبکیه بستگی دارد. پخش نور، تفرق و پراش نوری در داخل چشم، سبب عدم فوکوس دقیق تصویر و لبه‌های آن بر روی شبکیه می‌شود و کنترast بین تصویر و زمینه‌ی آن کاهش می‌یابد. مطالعه‌ی حاضر، با هدف بررسی کمی تأثیر اختلاف شدت روشنایی جسم و زمینه و ارزیابی میزان تأثیر تغییر در شدت روشنایی در اصلاح ایبراهی‌های اپتیک انجام شد.

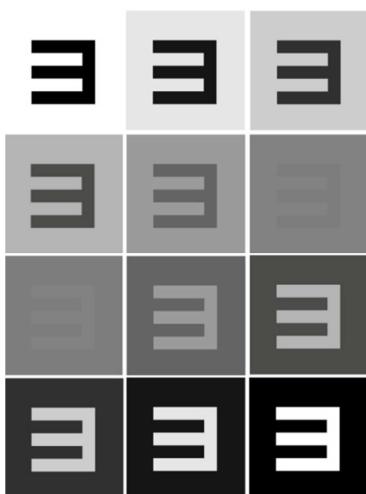
روش‌ها

برای این مطالعه، ۱۲ چارت دینامیک حدت بینایی با استفاده از نرم‌افزار Matlab طراحی شد. در طراحی، از استاندارد چارت Log MAR (Minimum angle of resolution chart) یا Log MAR chart استفاده شد. دینامیک بودن چارت‌ها، به این دلیل بود که جهت اپتوتاپ‌ها در هر بار اجرای آزمایش، به صورت تصادفی تغییر می‌کرد و در نتیجه، میزان خطای به خاطر سپردن جهت

جدول ۲. مشخصات سطح کنتراست چارت‌های آزمایش

کنتراست	سطح	سطح	شماره‌ی چارت
۱	۲۵۵	۰	۱
۰/۸۹	۲۳۰	۲۵	۲
۰/۷۵	۲۰۵	۵۰	۳
۰/۵۸	۱۸۰	۷۵	۴
۰/۳۵	۱۵۵	۱۰۰	۵
۰/۰۳	۱۳۰	۱۲۵	۶
۰/۰۳	۱۲۵	۱۳۰	۷
۰/۳۵	۱۰۰	۱۵۵	۸
۰/۵۸	۷۵	۱۸۰	۹
۰/۷۵	۵۰	۲۰۵	۱۰
۰/۸۹	۲۵	۲۳۰	۱۱
۱	۰	۲۵۵	۱۲

شکل ۲، یک عدد از اپتوتاپ‌های هر ۱۲ چارت را در سطوح مختلف کنتراست Weber نشان می‌دهد.



شکل ۲. اختلاف شدت روشنایی بین تصویر زمینه و اپتوتاپ در چارت‌ها به ترتیب

۱	۲	۳
۴	۵	۶
۷	۸	۹
۱۰	۱۱	۱۲

چارت‌ها بر روی یک صفحه‌ی نمایشگر ۲۷ اینچی با کیفیت 1440×2560 پیکسل و کمینه‌ی خطای کوانتیزاسیون $0/233$ میلی‌متر و از فاصله‌ی ۶ متری به بیماران نمایش داده شد. به دلیل استفاده از نمایشگر دیجیتال، زمینه‌ی اپتوتاپ‌ها دارای روشنایی یکنواخت و بدون

در ارایه‌ی Log MAR نتایج بین دو عدد $-0/3$ و ۱ متغیر است که عدد $-0/3$ برای حالت $20/10$ و عدد ۱ برای حالت $20/200$ در چارت استلن می‌باشد.

$$\text{Log MAR} \frac{20}{10} = 0.1 + \log \frac{10}{20} - (0.02 \times 5) = -0.3$$

$$\text{Log MAR} \frac{20}{200} = 0.1 + \log \frac{200}{20} - (0.02 \times 5) = 1$$

کوچکتر بودن این عدد بیانگر میزان حدت بینایی بهتر و عدد صفر، بیانگر حدت بینایی طبیعی می‌باشد. مقادیر منفی، نشان دهنده‌ی تیزبین بودن فرد است و بر اساس تعریف سازمان بهداشت جهانی برای افراد نایین، عددی برابر با $1/3$ در نظر گرفته می‌شود (13). اندازه‌ی هر اپتوتاپ در چارت‌های آزمایش بر اساس فرمول زیر محاسبه می‌شود:

$$Y = X \times \left(\frac{360}{2\pi} \right) \times \left(\frac{1}{R} \right) \times 60$$

در این فرمول، Y بر حسب دقیقه، X بر حسب متر و R به معنای فاصله است.

جدول ۱، اندازه‌ی اپتوتاپ‌های هر ردیف از چارت‌های طراحی شده را بر حسب میلی‌متر نشان می‌دهد.

جدول ۱. اندازه‌ی اپتوتاپ‌ها در هر ردیف از چارت‌های حدت بینایی برای فاصله‌ی ۶ متری

حدت بینایی	اندازه‌ی اپتوتاپ (میلی‌متر)
۲۰/۱۵	$6/541 \times 6/541$
۲۰/۲۰	$8/722 \times 8/722$
۲۰/۲۵	$10/927 \times 10/927$
۲۰/۳۰	$12/1083 \times 12/1083$
۲۰/۴۰	$17/444 \times 17/444$
۲۰/۵۰	$21/805 \times 21/805$
۲۰/۶۰	$26/166 \times 26/166$
۲۰/۷۰	$30/527 \times 30/527$
۲۰/۱۰۰	$43/611 \times 43/611$
۲۰/۲۰۰	$87/222 \times 87/222$

در این مطالعه برای بیان کنتراست از فرمول Weber استفاده شده است. در این فرمول، L_{max} میزان روشنایی سطح روشن‌تر و L_{min} میزان روشنایی سطح تیره‌تر می‌باشد و به صورت زیر بیان می‌گردد (14).

$$\text{Weber contrast} = \frac{L_{max} - L_{min}}{L_{max}}$$

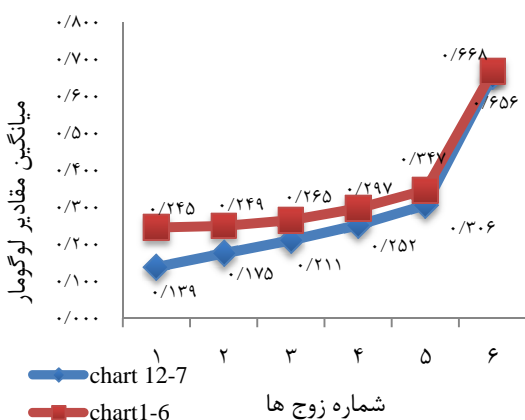
چارت‌ها در سطوح کنترasti متفاوت طراحی شده و سطح روشنایی اپتوتاپ‌ها و تصویر زمینه، بین -255 و 0 متغیر می‌باشد (جدول ۲).

برای وجود اختلاف معنی دار میان داده های دو چارت در آزمون Paired t می باشد. آزمون به صورت دو به دو بر روی مجموعه چارت های ۱-۶ و ۷-۱۲ اعمال شد. جدول ۴، تابعه به دست آمده از آزمون Paired t را نشان می دهد. با توجه به پایین بودن مقدار P (کمتر از ۰/۰۵۰) در مقایسه ۵ زوج نخست، مشخص گردید که اختلاف معنی داری بین این زوج ها برقرار بود؛ یعنی در حالتی که شدت روشنایی اپتوتاپ ها از سطح بالاتری نسبت به زمینه برخوردار بود، نسبت به حالت برعکس و با کنتراست Weber برابر، میزان حدت بینایی بهبود یافت. این حالت، برای زمانی که کنتراست Weber برابر با ۱۰۰ درصد بود، بیشترین مقدار را داشت و حدت بینایی ۱۰/۶ در مقیاس Log MAR بهبود یافت، اما این اختلاف در تحلیل زوج ۶، به دلیل وجود کنتراست Weber بسیار پایین، معنی دار نبود.

جدول ۴. بررسی معنی داری اختلاف داده ها در مقایسه زوجی چارت های ۱-۶ و ۷-۱۲

مقدار	Paired t	آزمون	زوج	شماره زوج
<۰/۰۰۱	۹/۴۶۲	۱۲ و ۱	چارت های ۱ و ۲	۱
<۰/۰۰۱	۸/۰۰۰	۱۱ و ۱۱	چارت های ۲ و ۱۱	۲
<۰/۰۰۱	۶/۹۸۱	۱۰ و ۱۰	چارت های ۳ و ۱۰	۳
<۰/۰۰۱	۵/۸۴۳	۹ و ۹	چارت های ۴ و ۹	۴
<۰/۰۰۱	۶/۰۳۳	۸ و ۸	چارت های ۵ و ۵	۵
۰/۴۲۵	۰/۸۰۶	۷ و ۷	چارت های ۶ و ۶	۶

شکل ۳، نمودار حدت بینایی برای هر زوج چارت را نشان می دهد. شبیث مثبت نمودار، بیانگر کاهش حدت بینایی با کاهش کنتراست Weber است. میانگین چارت های شماره های ۱-۶ در مقایسه هر ۶ زوج از چارت های ۷-۱۲ بیشتر بود.



شکل ۳. نمودار مقایسه زوجی چارت های ۱-۶ و ۷-۱۲ بر اساس آزمون Paired t

هر گونه تغییر رنگ بود، همچنین، میزان سطح روشنایی آزمایشگاه جهت انجام آزمایش ها برابر با ۵۰۰ لوکس تنظیم شد و هیچ گونه منع نور خیره کننده مستقیم و غیر مستقیم در محدوده مشاهده وجود نداشت (۱۵). در این تحقیق، ۲۰ بیمار با محدوده سنی ۲۰-۳۵ سال و میانگین سنی ۲۹/۴ مورد آزمایش قرار گرفتند. نبود هر گونه بیماری سیستمیک چشمی و عصبی، معیار ورود به این آزمایش بود. تمامی بیماران دارای اپیراهی اپتیک نزدیک بین بودند و جنسیت بیماران در این آزمایش در نظر گرفته نشد. اطلاعات مورد نیاز پس از کسب رضایت، از طریق معاینه بیماران و تکمیل پرونده به دست آمد. با انجام این مطالعه، مشخص شد که اختلاف بین شدت روشنایی اپتوتاپ و زمینه، تا چه اندازه بر روی حدت بینایی تأثیرگذار است و با ایجاد اختلاف در شدت روشنایی، تا چه اندازه می توان حدت بینایی را بهبود بخشید. همچنین، بررسی شد که «آیا چشم در حالات تشابه سطح کنتراست Weber، اپتوتاپ در زمینه روشنایی تر را بهتر مشاهده می کند یا بر عکس؟». نتایج آزمایش بر اساس درجات مختلف اندازه های نشانه ها ثبت و با استفاده از آزمون t در نرم افزار SPSS (SPSS Inc., Chicago, IL) تحلیل شد.

یافته ها

تمامی موارد ثبت شده در پرسشنامه، با استفاده از آزمون Paired t تجزیه و تحلیل شد. جهت استفاده از این آزمون، طبیعی بودن توزیع داده ها با استفاده از آزمون Kolmogorov-Smirnov بررسی شد؛ داده ها بر اساس مقدار P دارای توزیع طبیعی بود ($P > 0/050$) (جدول ۳).

جدول ۳. میانگین، انحراف معیار و نتایج آزمون Kolmogorov-Smirnov برای ۴۰ داده ای آزمایش

چارت	شماره	معیار	میانگین ± انحراف	مقدار آزمون	مقدار
۱	۱	۰/۲۴۵ ± ۰/۱۷۳	۱/۱۲۲	۰/۱۶۱	۰/۸۰۰
۲	۲	۰/۲۴۹ ± ۰/۱۶۹	۰/۹۳۸	۰/۳۴۲	۰/۷۰۰
۳	۳	۰/۲۶۵ ± ۰/۱۶۴	۰/۸۱۴	۰/۵۲۲	۰/۶۰۰
۴	۴	۰/۲۹۷ ± ۰/۱۶۰	۰/۹۴۲	۰/۳۳۷	۰/۵۰۰
۵	۵	۰/۳۴۷ ± ۰/۱۷۸	۰/۸۸۲	۰/۴۱۸	۰/۴۰۰
۶	۶	۰/۶۶۸ ± ۰/۴۰۵	۰/۶۵۴	۰/۷۸۶	۰/۳۰۰
۷	۷	۰/۶۵۶ ± ۰/۳۱۷	۰/۹۲۲	۰/۳۶۳	۰/۲۰۰
۸	۸	۰/۳۰۶ ± ۰/۱۶۸	۰/۷۰۱	۰/۷۰۹	۰/۱۰۰
۹	۹	۰/۲۵۲ ± ۰/۱۶۱	۰/۷۴۹	۰/۶۲۹	۰/۱۰۰
۱۰	۱۰	۰/۲۱۱ ± ۰/۱۵۸	۰/۸۰۷	۰/۵۳۲	۰/۷۰۰
۱۱	۱۱	۰/۱۷۵ ± ۰/۱۵۴	۰/۷۶۰	۰/۶۱۰	۰/۶۰۰
۱۲	۱۲	۰/۱۳۹ ± ۰/۱۵۱	۰/۹۳۱	۰/۸۲۱	۰/۵۰۰

پایین تر و اختلاف آن باشدت روشنایی جسم بیشینه باشد، حدت بینایی بیشتر بهبود می‌یابد.

عدم وجود اختلاف معنی دار در زوج شماره‌ی ۶ به این دلیل بود که کنتراست Weber در این حالت برابر با ۳ درصد بود و از آن جایی که حداقل آستانه‌ی تشخیص کنتراست مطابق فرمول Weber برابر با ۲ درصد است؛ در نتیجه، چشم در آستانه‌ی عدم تشخیص اختلاف کنتراست می‌باشد و این باعث می‌گردد که حدت بینایی کاهش چشمگیر و میانگین Log MAR و شب نمودار افزایش یابد (۱۴).

با توجه به این که امروزه امکان تنظیم پارامترهای صفحه‌ی نمایش برای وسایل هوشمند نظری گوشی‌های موبایل، نمایشگرهای دیجیتال و پنل‌های هوشمند موجود در خودروها و تجهیزات ناوبری وجود دارد، افراد دارای ایبراهی اپتیک مرتبه‌ی پایین، جهت بهبود حدت بینایی می‌باشد سطح روشنایی صفحه‌ی نمایش خود را معکوس کنند.

روش پیش‌گفته، اگر چه باعث بالا رفتن میزان حدت بینایی شد، اما برای جبران کامل ایبراهی‌های اپتیک مرتبه‌ی پایین، می‌باشد به صورت ترکیبی با سایر روش‌های پیش‌ختشی سازی به کار گرفته شود. پیشنهاد می‌گردد از ترکیب این روش با روش فیلتر معکوس استفاده شود تا میزان بهبود در بینایی بیمار و حفظ لبه‌های تصویر ارزیابی گردد.

تشکر و قدردانی

نویسنده‌گان این مقاله، بر خود لازم می‌دانند از معاونت تحقیقات و فناوری دانشگاه علوم پزشکی اصفهان به جهت تأمین بودجه‌ی این طرح تحقیقاتی تشکر و قدردانی نمایند. این مقاله حاصل طرح تحقیقاتی به شماره‌ی ۳۹۴۰۵۹ می‌باشد.

جدول ۵ میزان درصد بهبود حدت بینایی در مقیاس Log MAR برای کنتراست‌های Weber متفاوت را نشان می‌دهد.

جدول ۵. درصد بهبود حدت بینایی در مقیاس Log MAR برای کنتراست‌های Weber متفاوت

شماره‌ی زوج	۶	۵	۴	۳	۲	۱
درصد کنتراست Weber	۱۰۰	۸۹	۷۵	۵۸	۳۵	۳
میزان حدت بینایی در زمینه‌ی روشن	۰/۲۴۵	۰/۲۴۹	۰/۲۶۵	۰/۲۹۷	۰/۳۴۷	۰/۶۶۸
میزان حدت بینایی در زمینه‌ی تاریک	۰/۱۳۹	۰/۱۷۵	۰/۲۱۱	۰/۲۵۲	۰/۳۰۶	۰/۶۵۶
درصد بهبود حدت بینایی	۱۰/۶	۷/۴	۵/۴	۴/۵	۴/۱	۱/۲

بحث

مهم‌ترین ویژگی این تحقیق در مقایسه با مطالعات قبلی، ارایه‌ی نتایج به صورت کمی و بر مبنای اطلاعات کسب شده از بیماران واقعی بود. همچنین، الگوهای اپتیک به کار گرفته شده، بر اساس استاندارد چارت‌های حدت بینایی طراحی شده و برای هر سطح کنتراست، یک چارت مجزا طراحی شده بود. کلیه‌ی تغییرات آزمایش، بر اساس INSO 16285، 2013

یا Iranian National Standards Organization (Iranian National Standards Organization) صورت گرفت و

نتیجه، به طور دقیق بر اساس تعداد اپتوتاپ‌هایی که توسط بیمار

تشخیص داده شد، بیان گردید.

در این تحقیق، مشخص شد که برای افراد دارای مشکلات ایبراهی مرتبه‌ی پایین، هر چه قدر شدت روشنایی تصویر زمینه

References

- Cervino A, Hosking SL, Montes-Mico R, Bates K. Clinical ocular waveform analyzers. J Refract Surg 2007; 23(6): 603-16.
- Lombardo M, Lombardo G. Wave aberration of human eyes and new descriptors of image optical quality and visual performance. J Cataract Refract Surg 2010; 36(2): 313-31.
- Golovinskiy A, Matusik W, Pfister H, Rusinkiewica S, Funkhouser T. A statistical model for synthesis of detailed facial geometry. ACM Transaction on Graphics 2006; 23(5): 1025-34.
- Peli E, Woods RL. Image enhancement for impaired vision: the challenge of evaluation. Int J Artif Intell Tools 2009; 18(3): 415-38.
- Peli E. Limitations of image enhancement for the visually impaired. Optom Vis Sci 1992; 69(1): 15-24.
- Templin K, Didyk P, Ritschel T, Eisemann E, Myszkowski K, Seidel HP. Apparent resolution enhancement for animations. Proceedings of the 27th Spring Conference on Computer Graphics; 2011 Apr 28-30; Vinine, Slovakia.
- Stengel M, Eisemann M, Wenger S, Hell B, Magnor M. Optimizing apparent display resolution enhancement for arbitrary videos. IEEE Trans Image Process 2013; 22(9): 3604-13.
- Masia B, Wetzstein G, Aliaga C, Raskar R, Gutierrez D. Display adaptive 3D content remapping. Comput Graph 2013; 37(8): 983-96.
- Pamplona VF, Oliveira MM, Aliaga DG, Raskar R. Tailored displays to compensate for visual aberrations. ACM Trans Graph 2012; 31(4): 81-7.
- Huang FC, Lanman D, Barsky BA, Raskar R.

- Correcting for optical aberrations using multilayer displays. ACM Trans Graph 2012; 31(6): 185.
11. Bailey IL, Lovie JE. New design principles for visual acuity letter charts. Am J Optom Physiol Opt 1976; 53(11): 740-5.
12. Carlson NB, Kurtz D. Clinical procedures for ocular examination. New York, NY: McGraw Hill Professional; 2003.
13. Virgili G, Acosta R, Grover LL, Bentley SA, Giacomelli G. Reading aids for adults with low vision. Cochrane Database Syst Rev 2013; (10): CD003303.
14. Rangayyan RM. Biomedical image analysis. Boca Raton, FL: CRC Press; 2004.
15. Zumtobel Staff. The lighting handbook [Online]. [cited 2004]; Available from: URL: <http://zumtobelstaff.com>

Quantitative Analysis of Contrast Sensitivity to Improve Visual Acuity and Reduce Optical Aberrations

Soheil Nabavi¹, Alireza Mehridehnavi², Alireza Vard³, Soheil Mohammadpour⁴

Original Article

Abstract

Background: Human visual perception in detection of an object from background is based on edge emission and contrast. The optical aberration is the main factor to degrade quality of image in the eye. People with this complication perceive images with low levels of contrast and distorted edges. Since the conventional methods are cumbersome, the new complementary method such as Pre-compensation is offered for display devices. In this research we investigate quantitative effect of the contrast between the object and the background to reduce the effect of low order optical aberration by increasing regional contrast. We tried to find out which contrast level could improve visual acuity in Weber-contrast.

Methods: In this Research, 12 optical charts with different levels of contrast were designed based on the log MAR standard. Then obtained patterns were tested on 20 patients with low order optical aberrations. The results of each chart were analyzed using SPSS software.

Findings: There was a significant difference in visual acuity of persons at different contrast levels. But, when the Weber contrast percent was low, the difference was not remarkable.

Conclusion: Based on the obtained results, a background with lower contrast improves visual acuity approximately up to 11% in the log MAR scale. Therefore, to improve visual acuity in display devices, foreground is more appropriate that be in higher state of brightness than background.

Keywords: Pre-compensation, Visual acuity, Optical aberration, Contrast sensitivity

Citation: Nabavi S, Mehridehnavi A, Vard A, Mohammadpour S. Quantitative Analysis of Contrast Sensitivity to Improve Visual Acuity and Reduce Optical Aberrations. J Isfahan Med Sch 2016; 34(391): 816-22.

1- MSc Student, Department of Biomedical Engineering, School of Advanced Medical Technology, Isfahan University of Medical Sciences, Isfahan, Iran

2- Professor, Department of Biomedical Engineering, School of Advanced Medical Technology AND Medical Image and Signal Processing Research Center, Isfahan University of Medical Sciences, Isfahan, Iran

3- Assistant Professor, Department of Biomedical Engineering, School of Advanced Medical Technology AND Medical Image and Signal Processing Research Center, Isfahan University of Medical Sciences, Isfahan, Iran

4- Iranian Scientific Association of Optometry, Tehran, Iran

Corresponding Author: Alireza Mehri-Dehnavi, Email: mehri@med.mui.ac.ir